

مطالعه آزمایشگاهی رشد ترک در نمونه های گچی دیسکی برزیلی ترک- دار و بررسی تاثیر شیب ترک در رفتار شکست آن

حسین میرزائی نصیرآباد^۱، محمود شریعتی^۲، رضا کاکایی^۳، سید محمد اسماعیل جلالی^۴

- استادیار دانشکده معدن، نفت و زئوفیزیک، دانشگاه صنعتی شاهرود، ۰۹۱۴۳۱۵۸۴۱۶
 دانشیار دانشکده مهندسی مکانیک، دانشگاه صنعتی شاهرود
 دانشیار دانشکده معدن، نفت و زئوفیزیک، دانشگاه صنعتی شاهرود
 استادیار دانشکده معدن، نفت و زئوفیزیک، دانشگاه صنعتی شاهرود

چکیده

محیط‌های سنگی اغلب حاوی ترک‌های متعددی هستند و در بیشتر موارد این ترک‌ها رفتار مکانیکی آن را کنترل می‌کنند. در فرایند رشد ترک، اطلاع از میزان بار منجر به انشعاب ترک، زاویه انشعاب ترک، نوع مود رشد ترک، ضروری می‌باشد. شیب ترک تاثیر قابل توجهی در رفتار شکست محیط ترک‌دار دارد. در این مقاله با استفاده از مصالح گچی نمونه‌های دیسکی برزیلی ترک‌دار با مقادیر مختلف شیب ترک تهیه شده و تحت بار فشاری قرار گرفته است. برای تمامی نمونه‌ها بار منجر به شکست نمونه، زاویه انشعاب ترک‌ها از نوک ترک اصلی و مود رشد ترک‌های جدید ثبت شده است. نتایج حاصل نشان می‌دهد که وجود ترک مرکزی با طول یک سوم قطر دیسک، بسته به شیب ترک حدود ۶۰ تا ۸۰ درصد مقاومت نمونه را کاهش می‌دهد و شیب ترک در میزان کاهش مقاومت تاثیر بسزایی دارد. بر مبنای نتایج بدست آمده، شیب صفر درجه بیشترین مقاومت و شیب ترک درجه کمترین مقاومت را در برابر رشد ترک دارند. همچنین با افزایش شیب ترک میزان زاویه انشعاب ترک‌های جدید نسبت به راستای ترک اصلی کاهش می‌یابد.

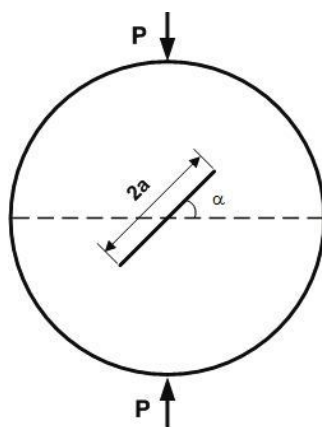
واژه‌های کلیدی: مکانیک شکست سنگ، دیسک برزیلی ترک‌دار، نمونه گچی، زاویه انشعاب ترک

در مطالعات مورد نظر، شامل روش‌های عددی المان محدود، المان محدود و المان مجزا است. برای مطالعه محدود مکانیسم رشد و اتصال ترک‌ها در محیط‌های سنگی یا شبه سنگی تحت بار فشاری از المان محدود، استفاده شده است.^{[۱]-[۳]} در سال‌های اخیر به خاطر ماهیت مسائل انتشار ترک (مرزهای متغیر) و مشکلات مربوط به مشبندی روش المان محدود، برای تعیین میدان تنش، محاسبه ضرایب تمرکز تنش و مطالعه رشد و اتصال ترک‌ها در محیط‌های سنگی روش المان مرزی، یا شبه سنگی کاربرد فراوانی داشته است^{[۴]-[۷]}. روش المان مجزا نیز قابلیت تحلیل محیط‌های سنگی ترک‌دار را دارد.^[۸] لازم به ذکر است، روش‌های عددی علی‌رغم قابلیت بالا و هزینه کم، در تحلیل انتشار و اتصال ترک‌ها در محیط‌های سنگی به خاطر فرضیات مختلف نیازمند اعتبارسنجی با مطالعات آزمایشگاهی هستند.

مطالعات آزمایشگاهی علی‌رغم هرینه بالا و زمان بر بودن، نتایج معتبر داشته و در بیشتر موارد برای ارزیابی دقت مطالعات عددی

۱- مقدمه

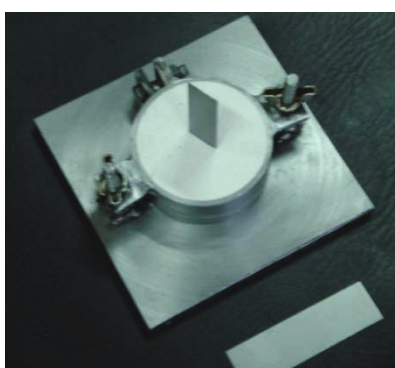
امروزه سازه‌های مختلف مهندسی معدن و یا عمران در محیط‌های سنگی احداث می‌شوند. محیط‌های سنگی اغلب حاوی ترک‌های متعددی هستند و در اثر بارگذاری ترک‌های موجود در محیط، رشد کرده، به هم متصل شده و منجر به شکست آن می‌شوند در علم مکانیک شکست رفتار شکست مصالح با استفاده از روش‌های مختلف نظیر روش‌های تحلیلی، عددی و آزمایشگاهی مطالعه می‌شود. به دلیل ماهیت پیچیده رفتار شکست محیط‌های سنگی ترک‌دارش و فرضیات محدود کننده روش‌های تحلیلی، مکانیسم رشد و اتصال ترک‌های سنگ به طور تحلیلی مطالعه نشده است. روش به کار برده شده در مطالعه نحوه انتشار و اتصال ترک‌ها در محیط‌های سنگی تحت انواع بارها؛ روش‌های عددی است و این بخاطر قابلیت بالای این روش‌ها است. لازم به ذکر است، روش‌های عددی مورد استفاده



شکل (۱): نمونه دیسکی حاوی ترک مرکزی شیبدار تحت بار فشاری

۲- تهیه نمونه های دیسکی ترک دار

برای مطالعه و بررسی تاثیر هندسه ترک (شیب ترک) در رفتار شکست نمونه ترکدار، نمونه های دیسکی از جنس گچ (ترکیب گچ و آب با نسبت وزنی ۳ به ۲) با قطر ۷۵ میلی متر، ضخامت ۳۰ تا ۳۲ میلی متر و با ترک مرکزی شیبدار به طول $22/5$ میلی متر تهیه شدند. شکل (۲) نمونه های تهیه شده با زوایای مختلف شیب ترک در شکل (۳) نشان داده شده اند.



شکل (۲) : قالب ساخت نمونه حاوی ترک شیبدار و نحوه ایجاد ترک در آن

نمونه ها به حداقل مقدار رسیده و در رفتار شکست آنها بی تاثیر است. با اندازه گیری وزن و حجم نمونه بدون ترک، وزن مخصوص مصالح گچی تشکیل دهنده نمونه ها، $1/02$ گرم بر سانتی متر مکعب اندازه گیری شد.

بکار گرفته می شوند. همچنین این مطالعات علاوه بر اعتبارسنجی نتایج عددی، بطور مستقل و دقیق قادر هستند جنبه های مختلف مکانیسم انشعاب، انتشار و اتصال ترک ها را نمایان سازند. در مطالعات آزمایشگاهی مختلف، با استفاده از انواع مصالح سنگی یا شیب سنگی، مکانیسم رشد و اتصال ترک ها در نمونه های حاوی یک یا چند ترک، با هندسه های مختلف تحت بارهای فشاری یک محوری و دو محوری بررسی شده است. در این مطالعات انواع مصالح نظیر پلاستر پارسیس [۹]، سنگ آهک [۱۰]، سنگ سنگ [۱۱]، گچ [۱۲]-[۱۴] و ماسه سنگ صنعتی [۱۵] و ... استفاده شده است.

در حوزه مکانیک شکست سنگ، تعیین ضرایب تمرکز تنیش به عنوان عوامل مخرب و چرمگی شکست مود کششی و برشی به عنوان عوامل مقاومتی و ارزیابی آنها در قالب یک معیار شکست ضروری است. در مطالعات آزمایشگاهی مکانیک شکست سنگ به خاطر سهولت تهیه نمونه دیسکی نسبت به نمونه های مکعبی، نمونه دیسکی حاوی ترک شیبدار (شکل ۱) کاربرد متعددی دارد. این نوع نمونه در مطالعات متعدد عددی و آزمایشگاهی برای مطالعه تاثیر هندسه ترک در مکانیزم رشد آن [۱۶]، تعیین چرمگی شکست سنگ ها [۱۷]، [۱۸] و ... بکار گرفته شده است. در این مقاله تاثیر هندسه ترک (شیب ترک)، در رفتار شکست نمونه های دیسکی حاوی ترک های شیب دار بررسی شده است. همانطور که اشاره شد برای شبه سازی مصالح سنگی در موارد متعددی از گچ استفاده شده است. به این منظور، نمونه های مختلف با مقادیر مختلف شیب ترک از جنس گچ تهیه شده و رفتار شکست آنها به ازای مقادیر مختلف شیب ترک (0° ، 15° ، 30° ، 45° ، 60° ، 75° و 90° درجه) تحت بار فشاری تک محوری به طور آزمایشگاهی مطالعه شده است. در این مطالعه قطر نمونه ۷۵ میلیمتر، ضخامت آن ۳۰ میلی متر و طول ترک $22/5$ میلی متر در نظر گرفته شده است.



بعد از ساخت نمونه ها با استفاده از قالب تهیه شده، نمونه ها به مدت ۳ روز در آون با دمای 50° درجه سانتیگراد قرار داده می شوند تا آب خود را پس داده و خشک و ترد شوند. بعد از این مرحله رطوبت



شکل (۳): نمونه های دیسکی حاوی ترک مرکزی با شیب متغیر

مقاومت کششی، ضریب ارجاعی، نسبت پواسون، چسبندگی و زاویه اصطکاک داخلی تعیین شدند. این پارامترها در جدول (۱) درج شده است.

۳- تعیین خواص مکانیکی نمونه ها

با آزمایش های مختلف، خواص مکانیکی مصالح گچی تشكیل دهنده نمونه های آزمایشگاهی از قبیل: مقاومت فشاری تک محوری،

جدول (۱): خواص مکانیکی مصالح گچی مورد استفاده در مطالعات آزمایشگاهی

زاویه اصطکاک داخلی	چسبند گی	ضریب پواسون	ضریب ارجاعی	مقاومت کششی	مقاومت فشاری
۱۰	۵/۳۲ MPa	۰/۱۹	GPa ۳/۳۳	۳/۱۷ MPa	۱۵/۷ MPa

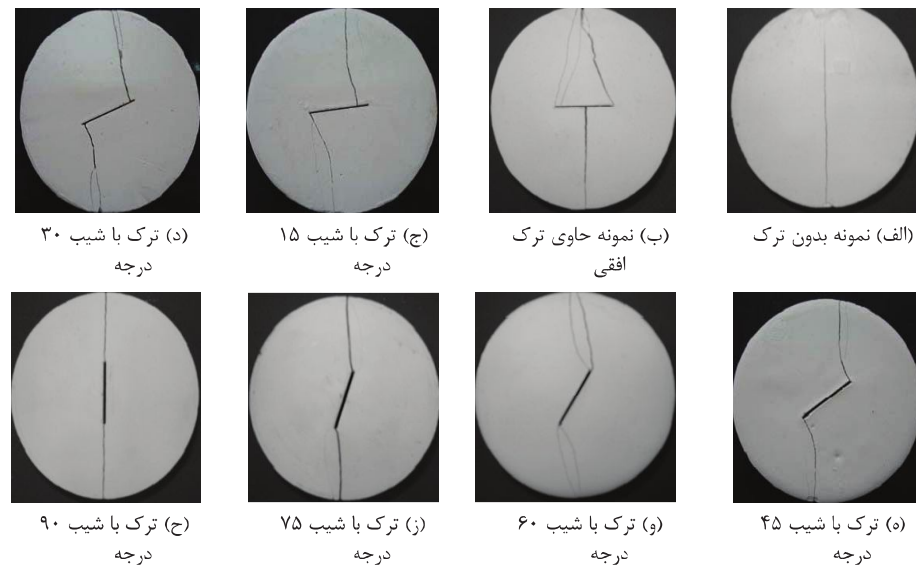


شکل (۴): بارگذاری فشاری نمونه های دیسکی با دستگاه INSTRON و با سلول بار به ظرفیت ۲۵ کیلونیوتون

۴- بارگذاری نمونه ها

نمونه های تهیه شده با شیب های مختلف، در آزمایشگاه تعیین خواص مکانیکی دانشکده مکانیک دانشگاه صنعتی شاهروд به کمک دستگاه فشاری INSTRON با سلول بار به ظرفیت ۲۵ کیلونیوتون تحت بار فشاری قرار گرفتند و رفتار شکست آنها ثبت شد (شکل ۴). بار فشاری اعمالی به طور تدریجی و با نرخ حدود ۲۰ نیوتون بر ثانیه افزایش داده شد. برای هر یک از مقادیر شیب دو نمونه یکسان تهیه و بارگذاری گردید و نتایج کیفی کاملاً یکسان و نتایج کمی خیلی نزدیک به هم ثبت شد.

پایینی می‌رسد. سپس ترک دیگری از نوک ترک اصلی منشعب می-شوند و به مرز بالایی می‌رسد (شکل ۵-ب). این نمونه تحت بار ۳/۱ کیلو نیوتون می‌شکند. در نمونه دیسکی ترک دار با شیب ۱۵ درجه، تحت بار فشاری از نزدیکی دو نوک ترک (نه دقیقاً نوک ترک)، ترک-های کششی با زاویه ۱۱۲ درجه نسبت به امتداد ترک، منشعب شده به مرزهای بالایی و پایینی می‌رسند (شکل ۵-ج). این نمونه تحت ۲/۷۹ کیلو نیوتون می‌شکند. در نمونه دیسکی ترک دار با شیب ۳۰ درجه، تحت بار فشاری از دو نوک ترک، ترک‌های کششی با زاویه ۹۳ درجه نسبت به امتداد ترک منشعب و به مرزهای بالایی و پایینی می‌رسند (شکل ۵-د). این نمونه تحت ۱/۷۵ کیلو نیوتون می‌شکند. در نمونه دیسکی ترک دار با شیب ۴۵ درجه، تحت بار فشاری از دو نوک ترک اصلی، ترک‌های کششی با زاویه ۸۰ درجه نسبت به امتداد ترک منشعب می‌شوند و به مرزهای بالایی و پایینی می‌رسند (شکل ۵-ه).



شکل (۵): شکست نمونه های دیسکی حاوی ترک با شیب متغیر تحت بار فشاری

می‌شکند. نمونه دیسکی با ترک قائم تحت بار فشاری همانند نمونه بدون ترک با مکانیزم کشش غیر مستقیم و در راستای قائم می‌شکند (شکل ۵-ج). این نمونه تحت بار ۲/۲۸ کیلو نیوتون می‌شکند. مقدار بار شکست نمونه های ترک دار و زاویه انشعاب ترک‌های کششی از نوک ترک اصلی برای مقادیر مختلف شیب ترک در جدول (۲) در نمودارهای (۶-الف و ب) نشان داده شده است.

۵- رفتار شکست نمونه ها

نمونه های مختلف بسته به شیب ترک، با مکانیزم خاصی می-شکند. در فرآیند شکست این نمونه ها، میزان بار منجر به شکست نمونه، محل انشعاب ترک های جدید، مود انتشار ترک های منشعب شده و رشد ناپایدار ترک های منشعب شده حائز اهمیت است. لازم به ذکر است تمامی ترک های جدید منشعب شده از نوع کششی بوده و به طور ناپایدار رشد می کنند. در شکل (۵) وضعیت نمونه ها بعد از شکست نشان داده شده است.

همچنین نمونه دیسکی بدون ترک تحت بار فشاری همان آزمایش بزرگی بوده و نمونه با مکانیزم کشش غیر مستقیم و در راستای قائم شکسته شد (شکل ۵-الف). این نمونه تحت بار فشاری ۷/۹ کیلو نیوتون می‌شکند. در نمونه دیسکی با ترک افقی، تحت بار فشاری ابتدا یک ترک از وسط ترک اصلی منشعب شده به مرز

این نمونه تحت بار فشاری ۱/۴۵ کیلو نیوتون می‌شکند. در نمونه دیسکی ترک دار با شیب ۶۰ درجه تحت بار فشاری از دو نوک ترک، ترک های کششی با زاویه ۶۵ درجه نسبت به امتداد ترک منشعب شده به مرزهای بالایی و پایینی می‌رسند (شکل ۵-و). این نمونه تحت بار ۷/۷۵ کیلو نیوتون می‌شکند. در نمونه دیسکی ترک دار با شیب ۷۵ درجه تحت بار فشاری، از دو نوک ترک، ترک های کششی با زاویه ۳۴ درجه نسبت به امتداد ترک منشعب و به مرزهای بالایی و پایینی می‌رسند (شکل ۵-ز). این نمونه تحت بار ۲/۰۵ کیلو نیوتون

جدول (۲): میزان بار شکست و زاویه انشعاب ترک های کششی برای مقادیر مختلف شیب ترک

زاویه ترک	بار شکست (کیلو نیوتون)	زاویه انشعاب (درجه)
۰	۱/۱	-
۵	۳	۱۲
۰	۷/۲۹	۱
۵	۷/۱	۶
۱۵	۷/۱	۴
۲/۵	۷/۱	۳
۱/۵	۷/۱	۲
۱/۵	۷/۱	۱
۲/۸	۷/۱	۰
۰	۰	۰

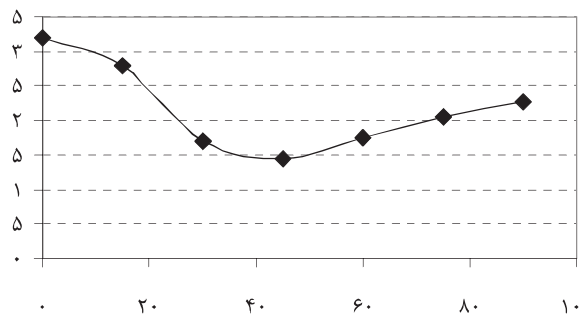
آزمایشگاهی مطالعه گردید. نتایج حاصل از این مطالعه عبارتند از:

- به خاطر وجود ترک در محیط‌های سنگی، مقاومت توده‌سنگ به مراتب کمتر از مقاومت ماده سنگ است.
- در نمونه‌های دیسکی به خاطر وجود ترک با طول یک سوم قطر نمونه، بسته به شیب ترک، مقاومت فشاری تک محوری، حدود ۶۰ تا ۸۰ درصد کاهش می‌یابد.
- در نمونه‌های دیسکی ترکدار، نمونه حاوی ترک با شیب ۴۵ درجه کمترین و نمونه حاوی ترک با شیب صفر درجه بیشترین مقاومت را دارند.
- در تمامی نمونه‌های ترکدار با ترک شیبدار، تحت بار فشاری متتمرکز، از نوک ترکها، ترک‌های کششی، منشعب و به طور ناپایدار رشد می‌کنند و راستای آنها به راستای بارگذاری متمایل می‌شود.
- با افزایش شیب ترک، زاویه انشعاب ترک‌های کششی نسبت به امتداد ترک اصلی، کاهش می‌یابد.

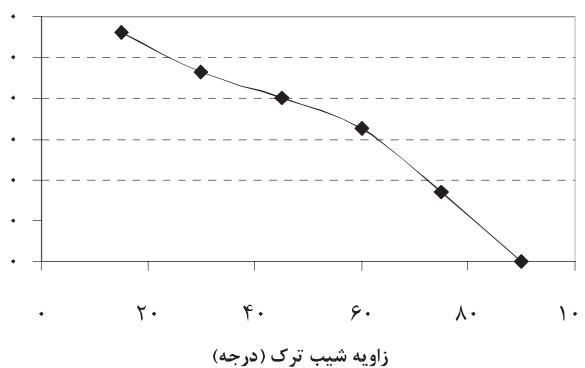
-۷- منابع

- [1] Ingraffea A.R.; "Theory of crack initiation and propagation in rock", In: Atkinson, B.K. (Ed.), Fracture Mechanics of Rock, Geology Series. Academy Press, New York, pp. 151-208, 1987.
- [2] Tasdemir M.A.; Maji A.K.; Shah S.P.; "Crack propagation in concrete under compression", Journal of Engineering Mechanics, 116 (5), pp. 1058-1076, 1990.
- [3] Reyes O.; Einstein H.H.; "Failure mechanism of fractured rock - A fracture coalescence model", Proceedings 7th International Congress of Rock Mechanics, 1, pp. 333-340, 1991.
- [4] Shen B.; Stephansson O.; "Modification of the G-criterion for crack propagation subjected to compression", Engineering Fracture Mechanics, 47(2), pp. 177-189, 1994.
- [5] Bobet A.; Einstein H.H.; "Numerical modeling of fracture coalescence in a model rock material", Int. J. Fract., 92, pp. 221-252, 1998.
- [6] Dobroskok A.; Ghassemi A.; Linkov A.; "Extended structural criterion for numerical simulation of crack propagation and coalescence under compressive loads", International Journal of Fracture, 133, pp. 223-246, 2005.
- [7] Fatehi M.M.; Hosseini Nasab H.; Kohsary A.H.; "On the uses of special crack tip elements in numerical rock fracture mechanics", International Journal of Solids and Structures, 43, pp. 1669-1692, 2006.
- [8] Kemeny J.; "Time-dependent drift degradation due to the progressive failure of rock bridges along discontinuities", Rock Mecha Rock Sci, 42, pp. 35-46, 2005.
- [9] Lajtai, E.Z.; "Brittle fracture in compression", International Journal of Fracture, 10(4): pp.525-36, 1974.
- [10] Ingraffea AR.; Heuze FE.; "Finite element models for rock fracture mechanics", Int J Num Anal Methods Geomech, 4: pp.25-43, 1980.
- [11] Petit, J.; Barquin, M.; "Can natural faults propagate under Mode II conditions?" Tectonics, 7(6): pp.1243-56, 1988.
- [12] Shen, B.; "Mechanics of fractures and intervening bridges in hard rock", Doctoral Thesis. Royal Institute of Technology, Stockholm, Division of Engineering Geology, 1993.
- [13] Bobet, A.; Einstein, H.H.; "Numerical modeling of fracture coalescence in a model rock material", International Journal of Fracture, 92: pp. 221-52, 1998.
- [14] Sagong, M.; Bobet, A.; "Coalescence of multiple flaws in a rock-model material in uniaxial compression". International Journal of Rock Mechanics & Mining Sciences, 39: pp. 229-41, 2002.
- [15] Wong, R.H.C.; Chau, K.T.; Tang C.A.; Lin, P.; "Analysis of

با توجه به اینکه نمونه دیسکی بدون ترک تحت بار ۷/۹ کیلو نیوتون، شکسته است؛ نتایج جدول (۲) بیانگر این است که وجود ترک مرکزی با طول یک سوم قطر دیسک، بسته به شیب ترک حدود ۶۰ تا ۸۰ درصد مقاومت نمونه را کاهش می‌دهد و شیب ترک در میزان کاهش مقاومت تاثیر بسزایی دارد.



(الف) بار شکست نمونه‌ای ترکدار



(ب) زاویه انشعاب ترک‌های کششی از نوک ترک اصلی

شکل (۶): (الف) بار شکست نمونه‌ای ترکدار (ب) زاویه انشعاب ترک‌های کششی از نوک ترک اصلی

بر مبنای نتایج به دست آمده شکل (۶-الف) شیب ۱۵ درجه بیشترین مقاومت و شیب ۴۵ درجه کمترین مقاومت را دارد. با توجه به شکل (۶-ب) که مقدار زاویه انشعاب ترک‌های کششی را به صورت تابعی از زاویه شیب ترک نشان می‌دهد، می‌توان نتیجه گرفت که با افزایش شیب ترک میزان زاویه انشعاب ترک‌های کششی کاهش می‌یابد.

-۶- نتیجه‌گیری

مطالعات آزمایشگاهی علی رغم هزینه بالا و زمان بر بودن، نتایج معتبر داشته و در اکثر موارد برای ارزیابی دقت مطالعات عددی به کار گرفته می‌شوند. در این مطالعه، نمونه‌های دیسکی حاوی ترک شیبدار با مقدار مختلف شیب ترک، از جنس گچ تهیه شد و رفتار شکست آنها به ازای مقدار مختلف شیب ترک (۰، ۱۵، ۳۰، ۴۵، ۶۰، ۷۵ و ۹۰ درجه) تحت بار فشاری تک محوری به طور

crack coalescence in rock-like materials containing three flaws-Part I: experimental approach”, International Journal of Rock Mechanics & Mining Sciences, 38: pp. 909-24, 2001.

[16] Al-Shayea N.; “Crack propagation trajectories for rocks under mixed mode I-II fracture”, Engineering Geology, 81, pp. 84–97, 2005.

[17] Liu H., Y.; Kou S., Q.; Lindqvist P., A.; Tang C., A.; “Numerical Modelling of the Heterogeneous Rock Fracture Process Rock Mech. Rock Engng., 40 (2), Using Various Test Techniques”, pp. 107-144, 2007.

[18] Chang S., H.; Lee C.; Jeon S.; “Measurement of rock fracture toughness under modes I and II and mixed-mode conditions by using disc-type specimens”, Engineering Geology, 66, pp. 79-97, 2002.